

5. Развитие исследований по теории фильтрации в СССР (1917–1967). М.: Наука, 1969. 545 с.  
 6. Коновалов А. Н. Задачи фильтрации многофазной несжимаемой жидкости. Новосибирск: Наука, 1988. 165 с.

Новосибирск

Поступила в редакцию  
1.VI.1989

УДК 533.6.011.55

© 1990 г.

С. А. ГОРОХОВ, В. В. ЕРЕМИН, А. М. ПОЛЯКОВ

## ГИПЕРЗВУКОВОЕ ОБТЕКАНИЕ ТРЕУГОЛЬНЫХ КРЫЛЬЕВ С ЗАТУПЛЕННЫМИ КРОМКАМИ

Рассматривается гиперзвуковое установившееся обтекание идеальным газом треугольного крыла со сферическим носком и цилиндрическими передними кромками.

Исследованию этой задачи посвящен ряд теоретических и экспериментальных работ [1–3]. Среди них отметим работу [2], где впервые аналитически установлен эффект растекания газа в окрестности плоскости симметрии крыла.

В работах [4, 5] разрабатывались численные методы и алгоритмы решения этой задачи, однако численные результаты получены для малых удлинений крыла  $\lambda=x/r_0 \leq 10$  (фиг. 1), в ограниченном диапазоне определяющих параметров задачи – числа  $M_\infty$ , угла стреловидности  $\chi$  и угла атаки  $\alpha$ .

В настоящей работе предложен метод, позволяющий проводить расчеты гиперзвукового обтекания идеальным газом треугольных крыльев с затупленными кромками для удлинений  $\lambda=100–200$ . Проведены систематические расчеты обтекания крыльев в диапазонах  $6 \leq M_\infty \leq 20$ ,  $0^\circ \leq \alpha \leq 20^\circ$ ,  $60^\circ \leq \chi \leq 80^\circ$ , результаты обработаны в параметрах гиперзвукового подобия.

Рассмотрим стационарное сверхзвуковое обтекание идеальным газом треугольного крыла с цилиндрическими кромками, затупленного в носке по сфере (фиг. 1). В поле течения выделим три характерные области: область носового притупления (I); область вблизи кромки с большими градиентами газодинамических параметров (II); область над плоскими наветренной и подветренной сторонами крыла (III).

В каждой из областей I–III введем свои системы координат: соответственно сферическую, цилиндрическую и декартову.

Уравнения, описывающие стационарное сверхзвуковое течение идеального газа, в указанных областях имеют вид

$$\frac{d}{dq_1} \iint_S adq_2 dq_3 = \oint_{\Gamma} [(c - a\xi^{q_3}) dq_2 - (b - a\xi^{q_2}) dq_3] + \iint_S f dq_2 dq_3, \quad (1)$$

$$a = a_0 \begin{bmatrix} \rho u \\ p + \rho u^2 \\ \rho uv \\ \rho uw \end{bmatrix}, \quad b = b_0 \begin{bmatrix} \rho v \\ \rho uv \\ p + \rho v^2 \\ \rho vw \end{bmatrix}, \quad c = c_0 \begin{bmatrix} \rho w \\ \rho uw \\ \rho vw \\ p + \rho w^2 \end{bmatrix}$$

Здесь  $\Gamma$  – некоторый замкнутый контур, ограничивающий площадку  $S$  на поверхности  $q_1 = \text{const}$ , вектор  $\xi = d\mathbf{n}/dq_1$ , где  $d\mathbf{n}$  – проекция смещения  $\Gamma$  на свою внешнюю нормаль  $n$  и  $\xi^{q_2}$ ,  $\xi^{q_3}$  – проекции вектора  $\xi$  на оси  $q_2$  и  $q_3$ ;  $q_1, q_2, q_3$  – обобщенная ортогональная система координат.

В декартовой системе координат

$$q_1 = x, \quad q_2 = y, \quad q_3 = z, \quad a_0 = b_0 = c_0 = 1, \quad f = 0$$

В цилиндрической системе координат

$$q_1 = x, \quad q_2 = r, \quad q_3 = \varphi, \quad a_0 = b_0 = 1, \quad c_0 = r$$

$$f = \frac{\rho}{r} \begin{bmatrix} v \\ uv \\ v^2 - w^2 \\ 2vw \end{bmatrix}$$

В сферической системе координат

$$q_1 = \theta, \quad q_2 = r, \quad q_3 = \varphi, \quad a_0 = r \sin \theta, \quad b_0 = r^2 \sin^2 \theta, \quad c_0 = r$$

$$f = r \sin \theta \begin{bmatrix} 0 \\ 2p + \rho(v^2 + w^2) \\ (p + \rho w^2) \operatorname{ctg} \theta - \rho uw \\ -\rho w(v \operatorname{ctg} \theta + u) \end{bmatrix}$$

Система уравнений (1) замыкается уравнением постоянства полной энталпии

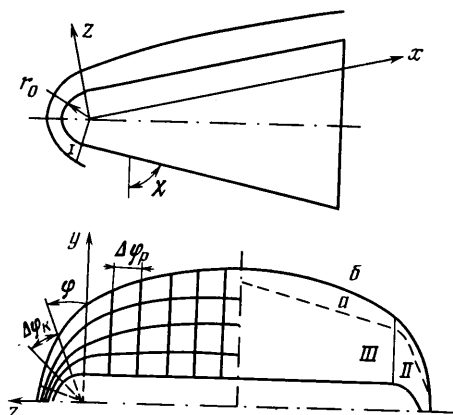
$$\frac{2\gamma}{\gamma-1} \frac{p}{\rho} + u^2 + v^2 + w^2 = \frac{1}{(\gamma-1) M_\infty^2} + 1$$

Здесь и далее давление  $p$  отнесено к удвоенному скоростному напору на бесконечности  $\rho_\infty V_\infty^2$ , плотность  $\rho$  — к плотности на бесконечности  $\rho_\infty$ , компоненты скорости  $u, v, w$  — к величине скорости на бесконечности  $V_\infty$ . На поверхности тела ставится условие непротекания, а на головной ударной волне — условия Гюгонио.

Для численного интегрирования уравнений (1) разработан алгоритм, позволяющий использовать три варианта метода Годунова: схему Годунова первого порядка [7], схему Годунова — Колгана, обладающую вторым порядком по поперечным направлениям [8], и схему Годунова второго порядка по всем направлениям, предложенную в [9].

Отличительной особенностью данного алгоритма является также использование аналогично [4] направленной вдоль кромки крыла маршевой координаты  $x$  (фиг. 1). Такой прием позволяет естественным образом производить стыковку систем координат в областях II и III и использовать разностные сетки, строящиеся аналитически следующим образом.

На кромке крыла используется цилиндрическая система координат, связанная с кромкой, при этом сохраняется постоянное количество ячеек по меридиональному



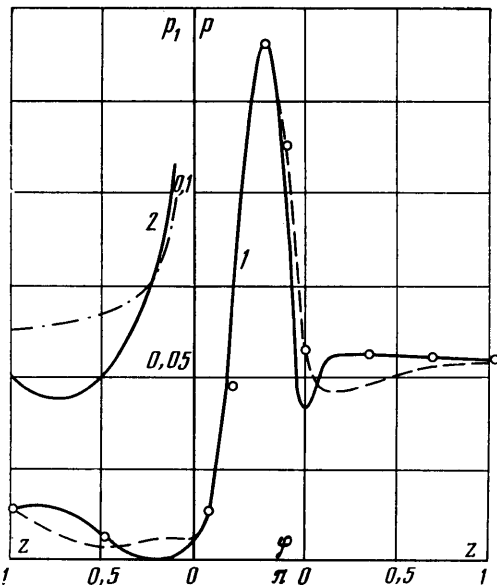
Фиг. 1

углу  $\phi$  (фиг. 1) и шаг  $\Delta\phi_p = \text{const}$ . При сохранении постоянного количества ячеек на плоскости крыла шаг сетки в области III становится переменным ввиду растущего поперечного размера крыла. Алгоритм построен так, что  $\Delta\phi_p = (1-2)\Delta\phi_k$ .

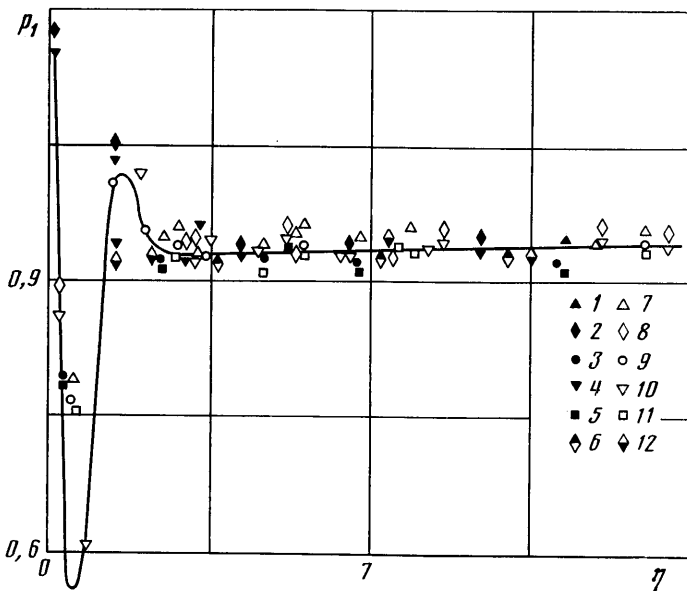
При невыполнении этого условия узлы сетки на плоскости крыла добавляются до тех пор, пока позволяют ресурсы ЭВМ. Ограниченностей этих ресурсов приводит к тому, что при значительных удлинениях крыла  $\lambda \geq 100$  размеры  $\Delta\phi_p$  и  $\Delta\phi_k$  могут различаться на порядок. В этом случае использование схемы Годунова приводит к появлению значительных осцилляций и нефизических особенностей в распределении параметров, что отмечалось также в [6].

Этого недостатка практически лишена схема второго порядка, что иллюстрирует фиг. 1, где приведены формы ударной волны в поперечном сечении  $\lambda = 15$  при обтекании крыла с  $\chi = 70^\circ$  при  $\alpha = 0^\circ$ ,  $M_\infty = 10$ , полученные по двум схемам (Годунова (a) и Годунова — Колгана (б)) на одинаковых разностных сетках. Расчеты, проведенные по схеме Годунова — Колгана, практически совпадают с данными, полученными по схеме второго порядка, но в силу того, что шаг по маршевой координате в этой схеме можно выбирать почти в 2 раза больший и сократить время расчетов примерно в 1,5 раза, в дальнейшем все расчеты проводились с ее использованием.

На фиг. 2 представлено распределение давления (1) в сечении  $\lambda = 8$  при  $\chi = 70^\circ$ ,  $\alpha = 10^\circ$ ,  $M_\infty = 6,8$ ,  $\gamma = 1,4$ , полученное настоящим методом (сплошная линия) и данные, полученные из решения параболизованных уравнений Навье — Стокса (штрихованная линия) [5]. Точками показаны экспериментальные результаты [5]. Данные хорошо согласуются в области кромки крыла, небольшое различие результатов на плоской поверхности обусловлено влиянием вязкости. Зоны, где они про-



Фиг. 2



Фиг. 3

являются, достаточно локализованы и вклад их в интегральные аэродинамические характеристики невелик.

Как уже отмечалось, известные авторам численные результаты, где возможны сравнения, ограничены весьма малыми величинами удлинения крыла  $\lambda \leq 10$ . Поэтому достоверность результатов, полученных при больших значениях удлинений крыла, проверялась путем проведения расчетов с использованием различных схемных модификаций и на различных разностных сетках с экстраполяцией на нулевой шаг. Результаты расчетов для крыла с  $\chi = 70^\circ$  при  $\alpha = 0$ ,  $M_\infty = 10$  приведены в таблице в зависимости от количества ячеек разностной сетки в поперечном сечении  $N$ . Относительные погрешности определения величины давления на теле  $p_t$  и радиуса головной ударной волны  $r_b$

$$\Delta p_t = \frac{p_t - p_0}{p_0} \cdot 100\%, \quad \Delta r_b = \frac{r_b - r_0}{r_0} \cdot 100\%$$

N	$\Delta P_T, \%$			$\Delta R_B, \%$
	$x=15, z=0$	$x=15, z=3$	$x=30, z=0$	
259	7	10	1	2,2
453	4	5	0,5	1,4
732	2,5	3	0,3	0,5
1008	1,7	2	0,2	0,3

где  $p_0$ ,  $r_0$  – давление и радиус волны, получены экстраполяцией на нулевой шаг сетки.

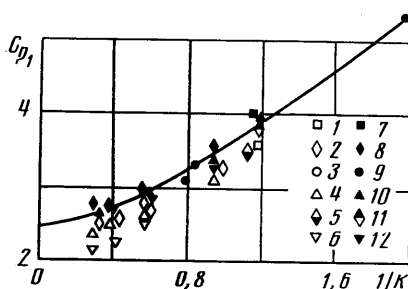
Анализ этих данных показывает, что погрешности  $\Delta P_T$ ,  $\Delta R_B$  уменьшаются почти линейно с возрастанием N и поэтому, несмотря на применение схемы, имеющей второй порядок на гладких решениях, в целом решение получается с первым порядком аппроксимации, что соответствует выводам [9]. Это объясняется, как уже отмечалось, значительными различиями в размерах ячеек  $\Delta\varphi_k$  и  $\Delta\varphi_k$ .

Остановимся на некоторых особенностях гиперзвукового обтекания затупленных треугольных крыльев достаточно большого удлинения ( $\lambda \geq 50-60$ ). На фиг. 3 представлено распределение максимального давления  $p_1 = p/\sin^2 \alpha_n$  на кромке крыла в зависимости от параметра гиперзвукового подобия

$$\eta = \frac{x}{r_0} \sqrt{\frac{2}{C_{x_0}}} \operatorname{tg}^2 \alpha_n, \quad \sin \alpha_n = \frac{M_n}{M_\infty},$$

$$M_n = M_\infty \sqrt{1 - \cos^2 \alpha \sin^2 \chi}$$

где  $\alpha_n$  – местный угол атаки,  $C_{x_0}$  – коэффициент волнового сопротивления сферического притупления. Точками 1–6 и 7–12 на фиг. 3 отмечены режимы течения при  $\alpha=0$  и  $10^\circ$  соответственно: 1 и 7 –  $M_\infty=10$ ,  $\chi=65^\circ$ ; 2 и 8 –  $M_\infty=10$ ,  $\chi=70^\circ$ ; 3 и 9 –  $M_\infty=15$ ,  $\chi=65^\circ$ ;



Фиг. 4

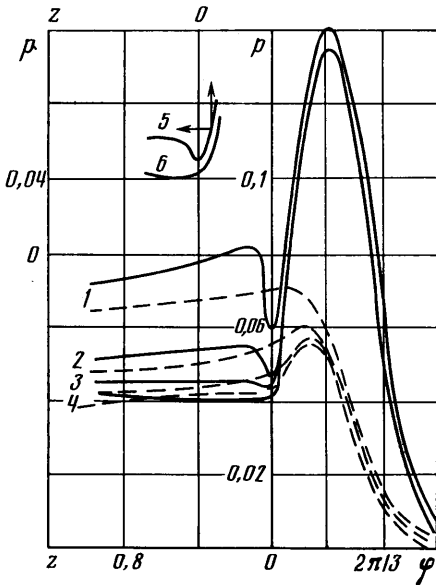
4 и 10 –  $M_\infty=15$ ,  $\chi=70^\circ$ ; 5 и 11 –  $M_\infty=20$ ,  $\chi=65^\circ$ ; 6 и 12 –  $M_\infty=20$ ,  $\chi=70^\circ$ .

Давление на кромке крыла как для  $\alpha=0$ , так и для  $\alpha=10^\circ$  при  $\eta \geq 2$  выходит на асимптотическое значение, а его уровень хорошо описывается ньютонаской теорией

$$p_1 = 0,92 \sin^2 \alpha_n + \frac{1}{\gamma M_\infty^2}$$

Попытка использования того же параметра подобия  $\eta$  для представления распределения давления в плоскости симметрии крыльев дала отрицательный результат.

Для представления данных при больших удлинениях ( $\lambda \geq 20$ ) оказывается целесообразным использование параметра сверхзвукового подобия  $K=(M_\infty^2-1) \sin^2 \alpha_n$ . Результаты обработки величины  $C_p = C_p / \sin^2 \alpha_n$  с использованием этого параметра представлены на фиг. 4. Точками 1–6 и 7–12 отмечены режимы течения при  $\lambda=30$  и 100 соответственно: 1 и 7 –  $\chi=70^\circ$ ,  $\alpha=5^\circ$ ; 2 и 8 –  $\chi=70^\circ$ ,  $\alpha=10^\circ$ ; 3 и 9 –  $\chi=75^\circ$ ,  $\alpha=5^\circ$ ; 4 и 10 –  $\chi=75^\circ$ ,  $\alpha=10^\circ$ ; 5 и 11 –  $\chi=80^\circ$ ,  $\alpha=5^\circ$ ; 6 и 12 –  $\chi=80^\circ$ ,  $\alpha=10^\circ$ .



Фиг. 5

Видно, что с увеличением  $\lambda$  точность корреляции улучшается. Сплошными линиями показана аппроксимационная зависимость для плоских треугольных крыльев, взятая из работы [10]

$$C_p = 2 \sin^2 \alpha_n \left( \frac{\gamma+1}{4} + \sqrt{\left( \frac{\gamma+1}{4} \right)^2 + \frac{1}{K}} \right)$$

Проведенный анализ показывает, что использование этих зависимостей для затупленных крыльев допустимо при  $M_n \geq 2$  и  $\eta \geq 4$ .

Характерные распределения давления в поперечном направлении в зависимости от координат  $z' = z/x \operatorname{ctg} \chi$  на плоской поверхности крыла и  $\phi$  на кромке для  $\lambda=100$  и  $\alpha=10^\circ$  представлены на фиг. 5. Сплошными кривыми показаны распределения давления для крыла с углом стреловидности  $\chi=70^\circ$ , штриховыми – для крыла с  $\chi=80^\circ$ : 1 –  $M_\infty=6$ , 2 – 10, 3 – 15, 4 – 20.

При гиперзвуковом обтекании затупленных крыльев достаточно большого удлинения распределение давления в поперечных сечениях крыла приближается к асимптотическому и примерно соответствует обтеканию затупленного клина с углом полураствора  $\beta=\operatorname{arctg}(\operatorname{tg} \alpha / \cos \chi)$  при  $M_\infty=M_n$ .

В рассмотренных диапазонах углов стреловидности  $\chi$ , чисел  $M_\infty$  и углов атаки можно выделить два характерных режима течения. Первый тип течения определяется такими величинами  $M_n$  и  $\beta$ , при которых разворот потока на затупленном клине осуществляется до сверхзвуковой скорости. Для плоских треугольных крыльев этот режим характеризуется присоединенным к кромкам крыла скачком. Для такого режима течения характерен провал давления в окрестности точки сопряжения кромки крыла с плоскостью (фиг. 5). Величина этого провала возрастает с уменьшением числа  $M_\infty$  (сплошная линия на фиг. 5), а уровни давления хорошо совпадают с данными таблиц сверхзвукового обтекания плоских тел [11] (кривым 5 и 6 на фиг. 5 соответствуют числа  $M_n=2,5$  и 3).

С увеличением  $M_n$  до значения, при котором поток на кромке не успевает развернуться до сверхзвуковой скорости, реализуется второй тип течения с дозвуковой поперечной скоростью на наветренной стороне крыла. Для плоских треугольных крыльев этот режим характеризуется отходом скачка от кромок крыла. Типичные распределения давления для этого режима течения изображены на фиг. 5 штриховыми кривыми: 1 –  $M_n=1,5$ ; 2 – 2,4; 3 – 3,7; 4 – 4,8.

В заключение отметим, что в настоящей работе численно подтверждены данные о наличии растекания в окрестности плоскости симметрии треугольных крыльев с затупленными кромками, полученные в [2, 3], что иллюстрируют результаты расчетов обтекания крыла с углом стреловидности  $\chi=60^\circ$  при  $\alpha=5^\circ$ ,  $M_\infty=20$  (кривая 2 на фиг. 2 ( $p_1=0,5p$ )). На эффект растекания в плоскости симметрии указывает минимум давления при  $z=0,75$ . Вблизи кромки расчетные значения хорошо совпадают с асимптотическим, соответствующим обтеканию затупленного клина [11] (штрихпунктирная кривая на фиг. 2).

#### СПИСОК ЛИТЕРАТУРЫ

- Черный Г. Г. Течения газа с большой сверхзвуковой скоростью. М.: Физматгиз, 1959. 220 с.
- Лунев В. В. Гиперзвуковая аэродинамика. М.: Машиностроение, 1975. 327 с.
- Иванов В. В., Красильников А. В. Экспериментальное исследование распределения давления на треугольном крыле с притупленными кромками при малых углах атаки // Изв. АН СССР. МЖГ. 1972. № 2. С. 166–169.
- Магомедов К. М., Холодов А. С. О сверхзвуковом пространственном обтекании треугольного крыла с притупленными кромками // Изв. АН СССР. МЖГ. 1967. № 4. С. 159–163.
- Таннегил А., Венкатанатхи Э., Рэкич Дж. В. Расчет сверхзвукового вязкого обтекания затупленных треугольных крыльев // Ракетная техника и космонавтика. 1982. Т. 20. № 3. С. 46–55.
- Ганжело А. Н., Крайко А. Н., Макаров В. Е., Тилляева Н. И. О повышении точности решения газодинамических задач // Современные проблемы аэромеханики. М.: Машиностроение. 1987. С. 87–102.
- Годунов С. К., Забродин А. В., Иванов М. Я. и др. Численное решение многомерных задач газовой динамики. М.: Наука, 1976. 400 с.
- Колган В. П. Применение принципа минимальных значений производной к построению конечно-разностных схем для расчета разрывных решений газовой динамики // Уч. зап. ЦАГИ, 1972. Т. 3. № 6. С. 68–77.
- Родионов А. В. Монотонная схема второго порядка аппроксимации для сквозного расчета неравновесных течений // Журн. вычисл. математики и мат. физики. 1987. Т. 27. № 4. С. 585–593.
- Лапыгин В. И. Нормальная сила плоского треугольного крыла в сверхзвуковом потоке // Изв. АН СССР. МЖГ. 1977. № 3. С. 162–164.
- Лебедев М. Г., Пчелкина Л. В., Сандомирская И. Д. Сверхзвуковое обтекание плоских затупленных тел. М.: Изд-во МГУ, 1974. 238 с.

Москва

Поступила в редакцию  
16.VIII.1988